

## ГЕОМЕТРИЧЕСКОЕ МОДЕЛИРОВАНИЕ КРИВЫХ НА ОСНОВЕ БИКВАДРАТИЧНОГО ПРЕОБРАЗОВАНИЯ

**Баймахан Нурмаханович НУРМАХАНОВ**

Доктор технических наук, профессор  
Казахского национального технического университета имени  
К.И.Сатпаева

**Гульмира Кусаиновна КУБЕНТАЕВА**

Старший преподаватель Восточно-Казахстанского государственного  
технического университета имени Д. Серикбаева

В статье рассматривается способ формообразования кривых с использованием графической модели биквадратичного преобразования, порождаемого отображением однополостного гиперболоида и конуса, обозначаемого в дальнейшем символом  $\Gamma_4$ , где прообразом задается окружность. Для получения кривых различной формы соответственно будет изменяться расположение прообраза окружности на плоскости. Графическая модель биквадратичного преобразования  $\Gamma_4$  приведена на рисунке.

Биквадратичное преобразование плоскости является взаимно (4-4)-значным соответствием между точками двух совмещенных плоскостей  $H_1$  и  $H'_1$  ( $H_1 \equiv H'_1$ ).

Другими словами каждой точке плоскости  $H_1$  соответствуют четыре точки на плоскости  $H'_1$ . И наоборот каждой точке плоскости  $H'_1$  соответствуют четыре точки  $H_1$ .

Биквадратичное преобразование  $\Gamma_4$ , порождаемое отображением однополостного гиперболоида и конуса, нами получено следующим образом:

1. В пространстве задаются две

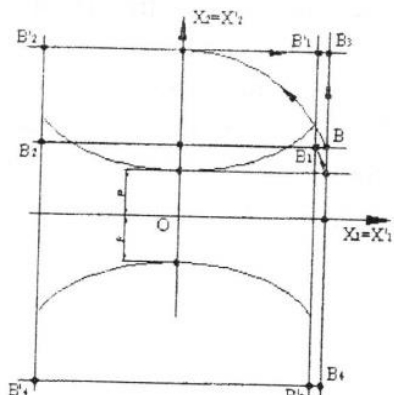


Рисунок 1 - Графическая модель биквадратичного преобразования  $\Gamma_4$

пересекающиеся поверхности второго порядка, а также задаются плоскости проекций общего положения  $H_1$  и  $H'_1$  ( $H_1 \equiv H'_1$ ).

2. Проводим проецирующий луч  $m$ , который пересекает заданную поверхность  $Q^o_1$  и  $Q^o_2$  соответственно в точках  $B^o_1$ ,  $B^o_2$ ,  $B^o_3$  и  $B^o_4$ , а плоскость  $H$  – в точке  $B$  (рис.2).

3. Поверхность второго порядка  $Q^o_1$  вращаем вокруг оси ординаты ( $OX_2$ ) на  $90^\circ$  так, чтобы положительное направление оси абсциссы совпало с отрицательным направлением оси аппликаты. В результате чего, получается новая поверхность  $Q^{o'}_1$  и точки  $B^{o'}_1$  и  $B^{o'}_2$ , которые соответствуют точкам  $B^o_1$  и  $B^o_2$ . При проецировании точек  $B^{o'}_1$  и  $B^{o'}_2$  на плоскость  $H'$  получаются точки  $B_1$  и  $B_2$  (рис.3).

4. Поверхность  $Q^o_2$  вращается вокруг оси абсциссы ( $OX_1$ ) на  $90^\circ$ , при этом положительное направление оси аппликаты совпадет положительным направлением оси ординаты. При вращении поверхность  $Q^o_2$  образует новое положение  $Q^{o'}_2$ . Точки  $B^o_3$  и  $B^o_4$ , расположенные на поверхности конуса  $Q^o_2$ , при его вращении занимают новое положение –  $B^{o'}_3$  и  $B^{o'}_4$ , при проецировании которых на плоскость  $H'$  получаются точки  $B_3$  и  $B_4$  (рис.4).

5. Проводим через полученные точки  $B_1$  и  $B_2$  линии, параллельные оси  $OX_2$ , а через точки  $B_3$  и  $B_4$  – линии параллельные оси  $OX_1$ . На пересечении этих линий образуются четыре точки:  $B'_1$ ,  $B'_2$ ,  $B'_3$  и  $B'_4$ , которые соответствуют точке  $B$  (рис.5).

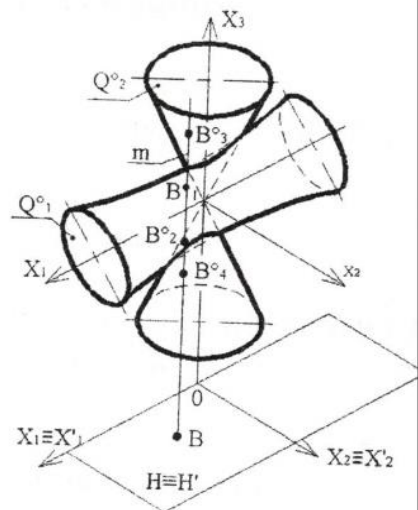


Рисунок 2 – Схема расположения поверхностей в пространстве

оси аппликаты совпадет с осью ординаты. При вращении поверхности  $Q^o_2$  образует новое положение  $Q^{o'}_2$ . Точки  $B^o_3$  и  $B^o_4$ , расположенные на поверхности конуса  $Q^o_2$ , при его вращении занимают новое положение –  $B^{o'}_3$  и  $B^{o'}_4$ , при проецировании которых на плоскость  $H'$  получаются точки  $B_3$  и  $B_4$  (рис.4).

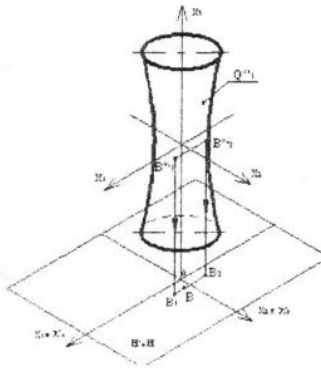


Рисунок 3 – Расположение однополостного гиперболоида  $Q^o_1$

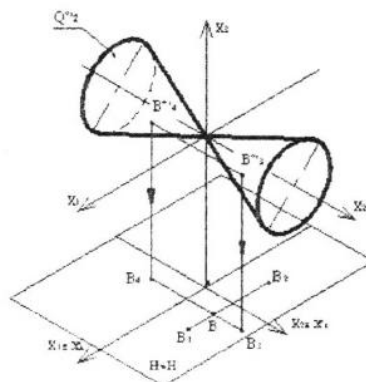


Рисунок 4 – Расположение конуса  $Q^o_2$

Таким образом, в результате последовательного выполнения выше изложенного конструктивного аппарата точке В плоскости  $H_1$  соответствуют четыре точки  $B'_1, B'_2, B'_3$  и  $B'_4$  плоскости  $H'_1$ , то есть устанавливается (4-4)-значное соответствие между совмещенными плоскостями  $H_1$  и  $H'_1$ .

Рассмотрим получение уравнения биквадратичного преобразования плоскости  $\Gamma_4$ , для чего используются уравнения поверхностей второго порядка: однополостного гиперболоида  $Q^o_1$  и конуса  $Q^o_2$ :

$$X_1^2 = X_2^2 + X_3^2 - R^2 \quad (1)$$

$$X_3^2 = X_2^2 + X_1^2 \quad (2)$$

После преобразования получаем искомое уравнение биквадратичного преобразования  $\Gamma_4$ :

$$\left. \begin{aligned} X_1 &= \sqrt{X_2^2 - X_3^2 + R^2} \\ X_2 &= \sqrt{X_3^2 + X_1^2} \end{aligned} \right\} \quad (3)$$

где  $X_1, X_2$ - координаты точек-образов;

$X'_1, X'_2$ - координаты точек-прообразов;

$R$  – коэффициент преобразования.

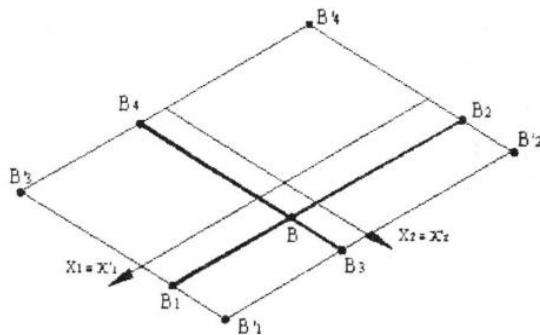


Рисунок 5 – Построение точек  $B'_1, B'_2, B'_3$  и  $B'_4$   
по известным точкам  $B_1, B_2, B_3$  и  $B_4$

В результате необходимых изменений из данной системы уравнения (3), определяется уравнение обратного биквадратичного преобразования, обозначаемое символом  $\Gamma'_4$ :

$$\left. \begin{aligned} X_1 &= \sqrt{\frac{X'_1 + X'_2 - R^2}{2}} \\ X_2 &= \sqrt{\frac{X'_2 - X'_1 + R^2}{2}} \end{aligned} \right\} \quad (4)$$

Для получения кривых прообраз-окружность ( $p$ ) подвергаем биквадратичному преобразованию  $\Gamma_4$ . Каждая точка-прообраз преобразуется в четыре точки-образы. Последовательно соединяя полученные точки-образы, построим кривую и обозначим её символом  $p'$ . Прообраз преобразуется в общем случае в кривую 4-го порядка. На рисунке 6 показано преобразование точки-прообраза  $I$  окружности ( $p$ ) в четыре точки-образы  $I'_1, I'_2, I'_3$  и  $I'_4$  с использованием графической модели биквадратичного преобразования  $\Gamma_4$ . Где прообраз-окружность задается радиусом  $r = 15$  мм. (размер берется произвольно). Центр прообраза - окружности находится на оси  $OX_2$  и на расстоянии равное  $t$  относительно начала координат, где  $t > R$ . На графической модели указываем область существования биквадратичного преобразования для более точного построения образа.

Обозначим точки на прообразе-окружности цифрами 1, 2, 3 и т.д. Заданную точку-прообраз  $I$  подвергнем биквадратичному преобразованию  $\Gamma_4$  и построим точки  $I_1, I_2, I_3, I_4$ . Через точки  $I_1, I_2$  проводим вертикальные линии параллельные оси  $OX_2$ , а через точки  $I_3$  и  $I_4$  - горизонтальные линии параллельные оси  $OX_1$ . Таким образом, пересечение этих линий определяет образы точек  $I'_1, I'_2, I'_3$  и  $I'_4$  прообраза точки  $I$ . Следующие образы заданных точек находим согласно выше изложенному алгоритму. Затем, последовательно соединяя полученные точки-образы, строим кривую  $(p')$ . В результате прообраз-окружность  $(p)$  преобразуется в кривую 4-го порядка  $(p')$ , которая распадается на две кривые второго порядка (рис.6).

В связи с этим, большой, интерес представляет решение обратной задачи - определение полученной кривой математически.

Используя уравнение обратного биквадратичного преобразования  $\Gamma_4^{-1}(4)$ , определим уравнение для данной кривой:

$$\begin{aligned} X_1 &= \sqrt{\frac{X_1^2 + X_2^2 - R^2}{2}} \\ X_2 &= \sqrt{\frac{X_1^2 - X_2^2 + R^2}{2}} \end{aligned} \quad (5)$$

где  $X_1, X_2$  – координаты точек - образов,  
 $X'_1, X'_2$  – координаты точек - прообразов,  
 $R$  – коэффициент преобразования.

Значения  $X_1$  и  $X_2$  подставляются в уравнение прообраза - окружности:

$$(X_1 - a)^2 + (X_2 - b)^2 = r^2 \quad (6)$$

где  $a, b$  – координаты центра окружности-прообраза;  
 $r$  – радиус прообраза-окружности

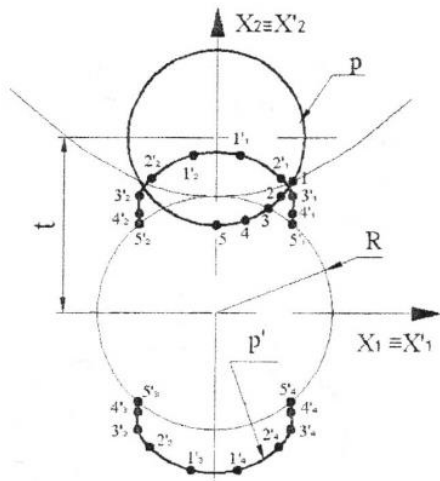


Рисунок 6 – Определение кривой с использованием биквадратичного преобразования  $\Gamma_4$

Определяем уравнение кривой (рис. 6):

$$\left( \sqrt{\frac{X_1^2 + X_2^2 - R^2}{2}} \right)^2 + \left( \sqrt{\frac{X_2^2 - X_1^2 + R^2}{2}} - b \right)^2 = r^2$$

Таким образом, показана возможность использования биквадратичного преобразования  $\Gamma_4$  в моделировании кривых четвертого (рис. 6, 7) и восьмого порядка (рис. 8). Это даёт возможность широкого их применения, как в начертательной геометрии, так и в технике.

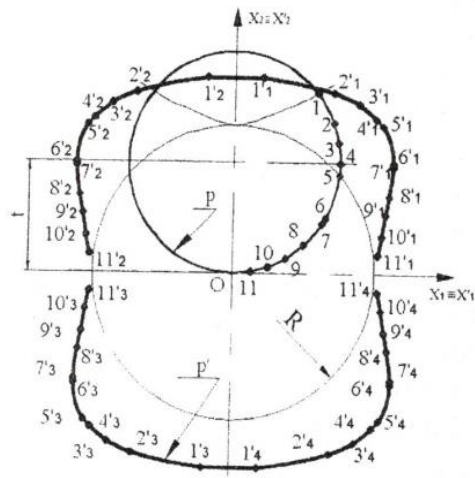


Рисунок 7 – Определение кривой с использованием биквадратичного преобразования  $\Gamma_4$

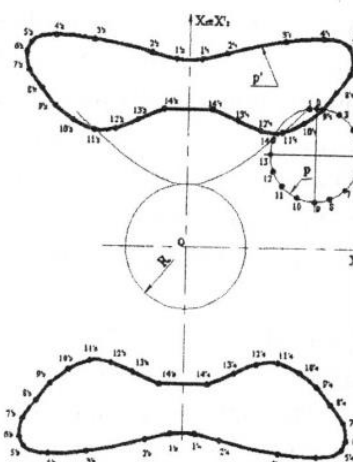


Рисунок 8 – Определение кривой с использованием биквадратичного преобразования  $\Gamma_4$

#### Список использованной литературы:

1. Фролов А.С. Методы преобразования ортогональных проекций. -М.: Машиностроение, 1970, 160 с.
2. Нурмаханов Б.Н., Кубентаева Г.К. Моделирование одного вида биквадратичного преобразования и исследование его свойств. // Поиск //Научный журнал Министерства образования и науки РК, Алматы, №1, 2008 – с. 214-218.
3. Байдабеков А.К. Теория нелинейного преобразования и их применение в науке и технике. -Автореф. ... дисс. докт. техн. наук. Алматы, 2006.